

## Стохастические системы

© 2019 г. Ю.Н. ГОРБУНОВ, д-р техн. наук (gorbunov@ms.ire.rssi.ru)  
(Институт радиотехники и электроники им. В.А. Котельникова РАН, Москва)

### СТОХАСТИЧЕСКАЯ ЛИНЕАРИЗАЦИЯ ПЕЛЕНГА В АДАПТИВНЫХ АНТЕННЫХ РЕШЕТКАХ С ГРУБЫМИ ПРОСТРАНСТВЕННО-ВРЕМЕННЫМИ СТАТИСТИКАМИ

Анализируется построение системы обработки пространственно-временных сигналов в радиотехнической системе, учитывающей технические ограничения при измерении пеленга. Заданная эффективность может быть достигнута применением упрощенных процедур обработки с использованием стохастической управляемой интерполяции пеленга. Для реализации применяется обработка на базе усеченных (малоэлементных) управляемых апертур антенных решеток и грубых («бинарно-знаковых») робастных статистик сигнала. Предлагается нетрадиционный подход, предполагающий в процессе цифровой обработки применять метод Монте-Карло с обратной связью: осуществлять рандомизацию и поэтапное стохастическое управление положением фазового центра путем последовательной активизации малого числа элементов при накоплении и усреднении грубых отсчетов входного сигнала. Приводятся количественные результаты снижения инструментальных погрешностей измерения пеленга.

*Ключевые слова:* стохастическая линеаризация, многоэтапное усреднение, рандомизация, стохастическая радиолокация, метод Монте-Карло, схема Бернулли, квазислучайные точки, инструментальные ошибки.

DOI: 10.1134/S0005231019120067

#### 1. Введение

Системы адаптивной пространственно-временной (ПВ) обработки сигналов находят широкое применение в информационной измерительной технике, радиосвязи и радиолокации. Гибкость структуры обработки и формирования сигналов обеспечивается применением цифровой ПВ обработки сигналов, фазированных антенных решеток (ФАР) и цифровых сигнальных процессоров (DSP).

Сложность построения системы в значительной степени определяется разрядностью обрабатываемых сигналов. При параллельной обработке в реальном времени (на регистровом и топологическом уровнях, в интерфейсах) разрядность напрямую определяет сложность построения аппаратуры (АЦП аналого-цифровых преобразователей, фазовращателей, умножителей, арифметико-логических устройств и т.п.). При последовательной обработке с применением DSP техническая реализация упрощается, однако увеличивается время обработки, снижается быстродействие системы.

В цифровых ФАР разрядность РЛ (радиолокационных данных), частоты дискретизации, размеры ПВ окон должны быть минимальными, однако это становится несовместимым с требованием высокой эффективности: растут шумы квантования, боковые лепестки, проявляются стробоскопический и интерференционные эффекты, нелинейности типа «зона нечувствительности», «люфт», «жесткое ограничение» и др. Компромисс между грубым квантованием и необходимым усреднением (объемом усредняющей выборки) предлагается искать в применении метода Монте-Карло, основанном на вероятностном моделировании с использованием грубых статистик [1].

В [2–4] исследованы вопросы анализа и синтеза адаптивных ФАР, осуществляющих дискретизацию пространства, однако специальные разделы, относящиеся к электронному управлению ФАР, повышению инструментальной точности измерения пеленга при использовании грубых статистик никем не исследовались. Несовершенства инструмента ограничивают потенциальную точность, а экстенсивный путь приводит к увеличению разрядности АЦП.

В последние годы развивается направление стохастической радиолокации [5–8], где введено понятие «грубые статистики» (ГС), связанное с понятием «грубые отсчеты» (ГО) так: «ГО + Р = ГС», где Р — рандомизация (зашумление).

Технический прием Р — это искусственное введение случайности (стохастичности, хаоса).

В развитие направления в [9] предложено повышать инструментальную точность измерения пеленга применением Р-стохастической интерполяции ГО. Измерение пеленга указанным способом (методом Монте-Карло) сводит измерение пеленга к задаче оценки интерполирующей добавки  $\Delta_x$  (дробной части грубой шкалы) через измерение вероятности  $p = \Delta_x/\Delta$ , где  $\Delta$  — элемент грубой дискретности. Процедура измерения пеленга при Р близка к известным процедурам стохастической аппроксимации (СА). Примером СА является рекуррентная форма усреднения

$$(1) \quad \Delta_{x(i)}^* = \frac{1}{i} \sum_{l=1}^i m_l = \frac{i-1}{i} \Delta_{x(i-1)}^* + \frac{m_i}{i} \Delta,$$

где  $\mu_i = 1/i$  — статистика исходов вероятности  $p = \Delta_x/\Delta$ ;  $\Delta_{x(i)}$  — ее  $i$ -я оценка на  $i$ -й итерации.

Расходимость гармонического ряда  $1/i$  в известных процедурах СА [10, 11] обеспечивает гарантированное движение к экстремуму целевой функции (min среднеквадратической ошибки) при его поиске.

### 1.1. Постановка задачи

В рассматриваемой задаче пеленг  $\theta = \theta(\alpha, \beta)$  для направления на источник излучения с азимута  $\alpha$  и угла места  $\beta$  является постоянным. В плоско-волновом приближении волна  $\lambda$  (длина), падающая на апертуру под углом (пеленгом)  $\theta$  от оси антенны, формирует поле, описываемое пространствен-

ными частотами:

$$(2) \quad \Omega_\alpha = \frac{2\pi}{\lambda} \operatorname{tg} \alpha \cos \theta;$$

$$(3) \quad \Omega_\beta = \frac{2\pi}{\lambda} \operatorname{tg} \beta \cos \theta.$$

Для получения оценки  $\Delta_x$  методом Монте-Карло в качестве исходной в [9] использована бинарно-знаковая статистика отсчетов квадратурных составляющих сигнала, сохраняющих доплеровскую и угловую информацию. Для рандомизированной обработки осуществлена модуляция положения фазового центра путем последовательной активизации малого числа слабонаправленных элементов и усреднении ГО. В отличие от известного метода СА для учета инженерных ограничений на каждой итерации будет использована грубая статистика, а Р применена целенаправленно, что является особенностью для направления стохастической радиолокации (Ст. РЛ) [14].

## 2. Стохастическая радиолокация: интерполяция пеленга

Обобщение работ по анализируемому направлению Ст. РЛ представлено структурной схемой Ст. РЛ в [8], где дан соответствующий обзор. Здесь уместно указать такие имена ученых: В.Г. Гайсов, А.К. Микельсон, Р.Ф. Немировский, И.Я. Билинский, Э.И. Вологдин, Г.П. Вихров, В.С. Гладкий, В.Г. Стругач, Ю.Г. Поляк, О.Н. Граничин, В.И. Фомин и ряд других, широко известных в кругу специалистов направлений, близких к Ст. РЛ. Следует отметить также Ю.Б. Черняка, который применительно к обычной РЛ в 1970-х гг. исследовал операцию «жесткого широкополосного ограничения — фильтрации» и доказал ее линейные свойства — по существу, метода «бинарно-знаковой» обработки сигналов в СВЧ приемнике, что не является парадоксом, а, скорее, подтверждает существование некоторой закономерности, оформленной в теорию Ст. РЛ.

Прототипом исследований возьмем работу [9], где рассмотрен подход адаптивного измерения пеленга  $\theta$ , эквивалентный последовательной хаотической модуляции положения фазового центра путем активизации малоэлементных сегментов ФАР. В качестве элементарной ячейки использована схема двухточечного пространственного дискретного преобразования Фурье (ДПФ) — схема «бабочка», реализующая на своих выходах «сумму — разность». На каждую угловую координату  $\alpha$  (2) и  $\beta$  (3) задействовано две схемы — один сегмент включает четыре элемента ФАР («крест»). Состоятельность грубых измерений пеленга  $\theta$  сохраняет в пределе и трехэлементный сегмент — «треугольник». Положение трех- и четырехэлементного сегмента на апертуре ФАР задается хаотично.

Синтезирование направленных (узких) лучей осуществляется последовательно — когерентным суммированием отсчетов поля в пространстве на передачу и суммированием отсчетов на прием. В основе предложения лежит идея многопозиционной радиолокации [12] и ее частного случая — многоканальных РЛС (так называемые ММО (multiple input — multiple output —

«много входов — много выходов») РЛС. В отличие от аналога — французской РЛС RIAS (1984 г.), где все элементы передающей решетки излучали одновременно взаимноортогональные сигналы, смещенные по частоте, и поэтому, как и в обычных ФАР, требовалась большая суммарная пиковая мощность передатчика, в рассматриваемой системе сигнал формируется последовательно, в результате чего при сохранении энергии пиковая мощность передатчика уменьшается. Уменьшение энергии сигнала компенсируется увеличением времени наблюдения.

В задаче измерения пеленга  $\theta$  полный ресурс обрабатываемых ПВ отсчетов определяется размером выборки, равным  $N \times K \times M$ , где  $N$  — размер временной выборки;  $K$  — число сегментов ФАР по оси  $x$  (для  $\alpha$ ), а  $M$  — число сегментов ФАР по оси  $y$  (для  $\beta$ ),  $K \times M$  — размер результирующей пространственной выборки полномасштабной решетки Рэйли. Прореженная решетка в виде креста Миллса при  $M = K$  имеет размер  $2K(M)$ .

Сигналы РЛС на отдельных посылах, сформированные сегментом, соответствуют одному испытанию в методе Монте-Карло. Закон распределения точек положения фазового центра устройством управления выбирается таким, что распределение ошибок квантования пеленга будет равномерным, а испытания независимы (схема Бернулли).

Применительно к задаче измерения пеленга в [9] приведена схема формирования квадратурных составляющих сигнала. Аддитивная смесь  $x = s + c$  полезного сигнала  $s$  и коррелированной по пространству активной помехи  $c$  по каждой квадратуре на аналоговых выходах ФАР подвергается квантованию с помощью идеально симметричного ограничителя, на выходе которого по каждому  $i$ -му отсчету имеем знаковую статистику  $\tilde{x}_i = \text{sign}\{x_i\}\Delta = \mu_i\Delta$ , причем  $\mu_i = 1$  при  $x_i > 0$  и  $\mu_i = -1$  при  $x_i \leq 0$  ( $\Delta$  — масштабный коэффициент).

С целью стохастической линеаризации нелинейной характеристики ограничителя во входную смесь добавляется искусственный шум  $\xi$ , в результате на выходе АЦП имеем СВ

$$(4) \quad \mu_i = \begin{cases} 1, & \text{с вероятностью } p = 2^{-1} + x_i(2\Delta)^{-1}; \\ -1, & \text{с вероятностью } q = 1 - p. \end{cases}$$

Моменты СВ  $\mu_i$ :

$$(5) \quad \text{а) } M_i\{\mu_i\} = x_i/\Delta; \quad \text{б) } M_i\{\mu_i^2\} = 1; \quad \text{в) } M_1\{\mu_i\mu_j\} = x_i x_j / \Delta^2.$$

Из (5),а) следует, что  $M_1\tilde{x}_i = x_i$ , т.е. операция  $M\{\cdot\}$  линеаризует нелинейность  $\text{sign}\{\cdot\}$  (эффект «стохастической линеаризации»). Условие (5),б) эквивалентно равенству  $M_1\tilde{x}_i^2 = \Delta^2$ , объясняющему робастность — эффект «нормирования мощности» за счет амплитудной характеристики симметричного ограничителя.

В [9] оценен прирост коэффициента направленного действия и динамического диапазона ФАР. Сходимость инструментальных СКО измерения пеленга в этом случае составила  $\sim K^{-1/2}$ .

### 3. Ускорение сходимости в схеме с многоэтапным измерением

В [13] рассмотрены методы испытаний, приводящих к сокращению их числа за счет введения некоторого числа неслучайных точек в алгоритмы Монте-Карло. Возможность использования, связанных цепью Маркова, и групповых зависимых испытаний по Лемеру ранее рассматривалась в [14]. В настоящей статье на основании публикаций [20, 21] сделаем обобщения применительно к задаче многоэтапного измерения пеленга.

#### 3.1. Теоретико-вероятностное содержание вопроса

Задача измерения интерполирующей добавки  $\Delta_x$  при измерении пеленга методом Монте-Карло сводится к измерению вероятности. На каждом этапе образуется статистика

$$(6) \quad m = \sum_{i=1}^N \mu_i,$$

где  $\mu_i$  — элемент вектора выборки  $\vec{\mu} = (\mu_1, \dots, \mu_N)$  из совокупности с кумулятивной функцией распределения  $F(\vec{\mu}, p)$ ,  $p$  — неизвестная вероятность, подлежащая оценке.

В терминологии [15] это задача нахождения условных оценок. В терминологии [16] это задача параметрического статистического оценивания. При известном априорном распределении измеряемого параметра вырабатывается байесова оценка. Статистика (6) имеет биномиальное при независимых и полиномиальное при зависимых испытаниях распределение. Для выборок большого размера используется асимптотика Муавра–Лапласа [17].

#### 3.2. Байесова и максимально правдоподобные оценки вероятности по частоте

При независимых испытаниях и равномерном распределении имеем байесову

$$(7) \quad p_{\text{опт}}^* = \frac{m + 1}{N + 2}$$

и максимально правдоподобную

$$(8) \quad p_{\text{МП}}^* = \frac{m}{N}$$

оценки вероятности (7) и (8).

Оценка максимального правдоподобия (8) является состоятельной и эффективной, а ее нижняя граница дисперсии согласно неравенству Рао–Крамера [18] равна

$$(9) \quad \sigma^2(p_{\text{МП}}^*) = \frac{p(1-p)}{N}.$$

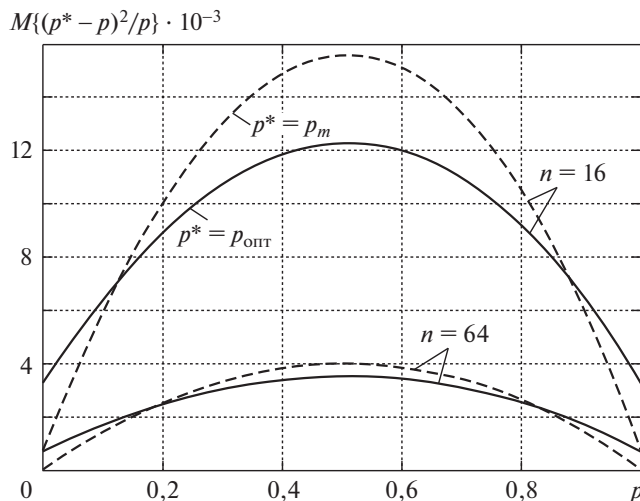


Рис. 1. СКО измерения вероятности  $p$  для байесовой (сплошная линия) и максимально-правдоподобной (штрих-пунктирная линия) оценок.

Сравнивая СКО для оценок (7) и (8), можно найти точки пересечения кривых (рис. 1)

$$(10) \quad p_{1,2} \approx \frac{1}{2}(1 \pm \sqrt{0,5}),$$

где видно, что при  $p < 0,15$  и  $p > 0,85$  следует пользоваться оценкой максимального правдоподобия, в остальном диапазоне  $p$  лучше байесова оценка.

### 3.3. Организация обратной связи в методе Монте-Карло

Для повышения инструментальной точности измерения вероятности после использования априорных сведений используем подход, основанный на изменении условий проведения измерений, что не предусмотрено в [18]. Прежде покажем, что использование для этой цели лишь разбиение  $N$  на этапы не дает результата. Действительно, если на каждом этапе взять оценку

$$(11) \quad p_{\text{МП}}^*(m_i) = \frac{m_i}{N_i}, \quad i = 1, 2, \dots, L,$$

где  $L$  — число этапов измерения;  $i$  — номер этапа;  $N_i$  — размеры каждого этапа, то по результатам  $L$  этапов можно сформировать оценку

$$(12) \quad p_{\Sigma^*} = \sum_{i=1}^L \eta_i p_{\text{МП}}^*(m_i),$$

где  $\eta_i$  — весовые коэффициенты, удовлетворяющие условию нормировки

$$(13) \quad \sum_{i=1}^L \eta_i = 1.$$

Оптимизируя весовые коэффициенты методом неопределенных множителей Лагранжа получим

$$(14) \quad \eta_{i \text{ опт}} = \frac{N_i}{\sum_{i=1}^L N_i}.$$

Подставляя (14) в (12), имеем

$$(15) \quad p_{\Sigma^*} = \frac{\sum_{i=1}^L m_i}{\sum_{i=1}^L N_i} = \frac{m}{N}.$$

Таким образом, суммарная оценка  $p_{\Sigma^*}$  (15) совпадает с оценкой максимального правдоподобия одноэтапной процедуры с числом испытаний  $N = \sum_{i=1}^L N_i$ .

Далее в методе Монте-Карло организуем обратную связь: будем рекурсивно изменять условия проведения измерений от этапа к этапу.

Весь объем испытаний  $N$  по аналогии с [20, 21] разобьем на два и более этапов. Первый этап объемом  $N_1$  представляет собой классическую схему Бернулли. На первом этапе выработаем оценку  $p_1^*$  исходной вероятности  $p$ . Далее по оценке  $p_1^*$  вырабатывается корректирующая эталонная добавка  $\delta$ . На втором этапе объемом  $n_2$  проведем промежуточные измерения на новой величине  $p_2 = p_1 + \delta$ , сводящей измерения к точкам (10). При введении  $\delta$  в измерителях дальности [21] использовалась коммутируемая линия задержки с отводами. При измерении пеленга  $\theta$  управляемые добавки вводятся в квадратурные каналы сигнала [9, 22].

Результаты анализа двухэтапной оценки вероятности показали, что при организации обратной связи в схеме Бернулли незначительно снижаются СКО измерения [20].

Резервы повышения точности целесообразно искать в разбиении всего объема  $N$  испытаний на  $L$  этапов и организации рекуррентной зависимости испытаний. Здесь отметим, что известная последовательная оценка вероятности по частоте [19] не фиксирует число испытаний, а основополагающие работы Вальда и последующие работы глубоко и всеобъемлюще разрешают эту проблему, однако возникают трудности вычислительного плана. Одна из трудностей [19] состоит в следующем. Для построения оптимальной процедуры по методу последовательного анализа, нужно решить систему рекуррентных уравнений. Во многих подобных ситуациях решение уравнений удается получить для небольшого числа шагов.

Алгоритм формирования оценок  $p_i^*$ ,  $i = 1, \dots, L$ , вероятности  $p$  следующих. После первого этапа формируется оценка  $p_1^*$  вероятности  $p$ . По этой оценке вырабатывается корректирующая добавка  $\delta_1 = 1 - p_1^*$ , сводящая измерения на втором этапе к узлам СКО (10).

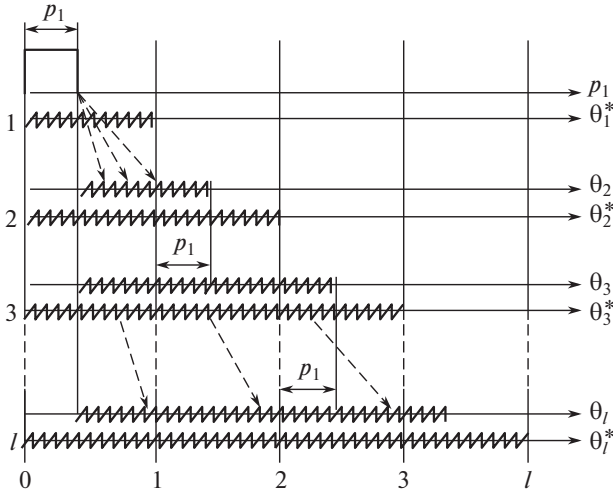


Рис. 2. Области изменения параметров  $\theta_i$  и их оценок  $\theta_i^*$ .

На втором этапе измеряется параметр  $\theta_2 = p + \delta_1$  и формируется оценка исходной вероятности по формуле  $p_2^* = \theta_2^* - \delta_1$ , где  $\theta_2^* = m_2/N_2$  — оценка  $\theta_2$ . Далее вырабатывается корректирующая добавка  $\delta_2 = 1 - p_2^*$  для измерения параметра  $\theta_3 = p + \delta_2$  на третьем этапе и т.д.

В общем виде оценку  $p_L^*$  вероятности  $p_1 = p$  на  $L$ -м этапе можно представить в виде

$$(16) \quad p_L^* = \theta_L^* - \delta_{L-1},$$

где  $\theta_L^* = m_L/N_L$  — результат измерения параметра  $\theta_L = p_L + \delta_{L-1}$  на  $L$ -м этапе (11);  $m_L$  — число совпадений;  $N_L$  — число испытаний;  $\delta_{L-1} = 1 - p_{L-1}^*$  — корректирующая добавка на  $L$ -м этапе, определяемая через оценку  $p_{L-1}^*$  на  $(L-1)$ -м этапе;  $p_{L-1}^* = \theta_{L-1}^* - \delta_{L-2}$  и т.д.

По результатам измерений (16) после  $L$  этапов формируется результирующая оценка

$$p_{\Sigma^*} = \sum_{i=1}^L \eta_i p_i^*,$$

где  $\eta_i$  — весовые коэффициенты, удовлетворяющие условию (13).

Из анализа [21] следует, что дисперсия  $D\{p_L^*\}$  оценки зависит от дисперсии оценки параметра  $\theta_L^* = m_L/N_L$  и дисперсии эталонной добавки  $\delta_{L-1}$ :  $D\{p_L^*\} = D\{\theta_L^*\} + D\{\delta_{L-1}\}$ .

Для определения  $D\{\theta_L^*\}$  обратимся к рис. 2, на котором для фиксированного значения  $p_1$  показаны области изменения (аттракторы) параметров  $\theta_i$ , их оценок  $\theta_i^*$ , а также реализации отдельных случайных траекторий их изменения.

Результаты анализа рекурсивной многоэтапной оценки вероятности показывают, что организация обратной связи в схеме Бернулли может дать боль-



шие выигрыши в снижении инструментальных погрешностей, если одновременно повышать число измерений на этапах.

### 3.4. Асимптотика Муавра–Лапласа и оценка предельных возможностей

Применение асимптотики Муавра–Лапласа [17] позволяет конкретизировать распределение параметров  $\theta_i$  и через функциональное преобразование дробной части  $p_i = R\{\theta_i\}$  определить качество результирующей оценки  $p_L^*$ .

Исходя из принципа формирования эталонных добавок, заключающегося в сведении измерений к узлу  $\theta_i = 1$  с использованием несмещенных оценок  $\theta_i^* = m_i/N_i$ , можно показать, что все математические ожидания  $M\{\theta_i\}$  параметров  $\theta_i$  равны 1 за исключением  $\theta_1 = p_1$ . Поэтому, аппроксимируя распределение  $W\{\theta_L\}$  нормальным распределением со средним значением  $a = 1$  и дисперсией  $D_{L-1} = \sigma_{L-1}^2$ , а также учитывая свойства функции дробной доли  $R\{\cdot\}$ , можно определить значения первого и второго моментов вероятности  $p_L$ .

В результате вычислений при  $\sigma_{L-1} \ll 1$  получим [21]

$$(17) \quad \sigma_L^2 = \frac{p_L - p_L^2}{N} = \sigma_{L-1} \frac{\sqrt{2/\pi} - \sigma_{L-1}}{N_L} \cong \sigma_{L-1} \frac{\sqrt{2/\pi}}{N_L}.$$

Учитывая, что  $\sigma_1 = \sqrt{(p_1 q_1)/N_1}$ ,  $q_1 = 1 - p_1$ , нетрудно видеть в (17), что при увеличении  $L$  кривая СКО становится все более плоской в окрестности точки  $p_1 = 1/2$ , поэтому для получения усредненного по  $p_1$  значения  $\sigma_L^2$  достаточно выполнить вычисления в точке  $p_1 = 1/2$ . Подставляя  $p_1 = 1/2$  и находя экстремум (минимум) при фиксированном  $N = \sum_{i=1}^L N_i$ , получим следующее оптимальное соотношение между этапами:

$$(18) \quad N_L/N_{L-1} = N_{L-1}/N_{L-2} = \dots = N_2/N_1 = 2.$$

Используя соотношение (18), дисперсия будет

$$\sigma_L^2 = \left(\frac{2}{\pi}\right)^{(2^{L-1}-1)/2^{L-1}} \left(\prod_{i=0}^{L-1} 2^{(i+1)/2^i} / \prod_{i=0}^{L-1} N^{1/2^i}\right).$$

Тогда

$$\sigma_L = \sqrt{\lim \sigma_L^2} = \sqrt{2/\pi}(2^2/N),$$

так как  $\lim_{L \rightarrow \infty} \sum_{i=0}^{L-1} \frac{1}{2^i} = 2$ , а  $\lim_{l \rightarrow \infty} \sum_{i=0}^{L-1} \frac{i+1}{2^i} = 2^4$ .

В предельном случае, как это следует из формулы (23), измерения на  $L$ -м этапе будут обеспечивать скорость уменьшения среднеквадратической ошибки как  $1/N$ . Уменьшение числа этапов  $L$ , а также учет других обстоятельств, связанных с формированием эталонных псевдослучайных траекторий, приводит к уменьшению достигаемого предела вплоть до значений  $1/N^{3/4}$  для  $L = 2$  и  $1/N$  в предельном случае. Таким образом, скорость сходимости предельная  $\sim K^{-3/4} \div K^{-1}$ ,  $K = 1, 2, 3, \dots$ , т.е. более высокая, чем в классической схеме Бернулли. Эталонные добавки при измерении

пеленга физически трактуются как учитываемые фазовые вставки, корректирующие измеряемые положения фазового фронта поля в апертуре ФАР (это эквивалентно хаотической случайной перестройке положения фазового центра при последовательной аппроксимации пеленга «грубыми статистиками») [22]. Предельное инструментальное разрешение и точность измерения пеленга метода усреднения ГО возрастает как ряд  $\sim (K^{1/2} - K)$ , где  $K$  — размер пространственной апертуры ФАР.

### 3.5. Возможности предлагаемого подхода

Стохастическое управление фазовым центром реализует скорости увеличения инструментальной точности и разрешающей способности, эквивалентные ряду  $\sim K^{1/2} \div K$ , где  $K$  — размер пространственной апертуры ФАР. Для оценки вероятности в методе используется «грубая» бинарная статистика  $\mu_i$ , равная 1 или 0. В этом состоит достоинство подхода, когда текущие грубые отсчеты получить сложно (или невозможно) либо это делается искусственно с целью учета ограниченности аппаратных или вычислительных ресурсов аппаратуры пеленгатора. В данном случае обратная связь в методе Монте-Карло отчасти использует ресурс зависимых испытаний. Известны [13] показательные и расчетные примеры ускорения сходимости метода, когда при оценке вероятности, связанной с числом  $\pi$  в опыте подбрасывания связанной пары игл (засчитываемых за два испытания), точность измерения вероятности по частоте возрастала по сравнению с опытом последовательного проведения двух независимых испытаний и подсчете числа пересечений иглами начерченных на плоскости параллельных линий. Чем-то это напоминает «урновую схему» Пойя (см. [23]), когда в урну добавлялось не только известное количество шаров (здесь это эталонные добавки  $\delta$ ), но и менялся их цвет. Статистика измерения вероятности по частоте в данном случае — линейная статистика. Однако, оставляя текущую статистику «грубой» ( $\mu_i = 1$  или  $\mu_i = 0$ ), в варианте использования нелинейной статистики для оценки вероятности можно упомянуть процедуру последовательного деления отрезка пополам, т.е. процедуру Больцано. Эта процедура также является поисковой, а скорость увеличения инструментальной (не потенциальной) точности в идеальном случае возрастет как два в степени  $K = 1, 2, \dots$ . Поэтому можно считать, что это есть достоинство предлагаемого подхода, когда при уверенном отношении сигнал/шум (в условиях отсутствия шума, т.е. модели пеленга — не как математическое ожидание, а как детерминированная константа) можно существенно уменьшить инструментальную погрешность, но это обстоятельство не совсем верное. На самом деле, учет шума приводит к процедурам стохастической аппроксимации, процедурам Роббинса–Монро, Кифера–Вольфовица и др. в вариантах использования как линейных, так и нелинейных оценок, что является предметом исследований других статей.

## 4. Заключение

Предлагается метод построения информационной системы, осуществляющей измерение пеленга за счет интерполяции грубых («бинарно-знаковых») ПВ отсчетов входного сигнала на базе усеченных (малоэлемент-

ных) апертур со слабонаправленными приемопередающими элементами антенной решетки. Задача измерения пеленга сводится к оценке вероятности методом Монте-Карло с обратной связью. Для различных алгоритмов приводятся результаты расчета инструментальных погрешностей измерения пеленга. Оценка резервов уменьшения инструментальной СКО оценки пеленга при использовании многоэтапной процедуры в методе Монте-Карло составляет  $\sim K^{-3/4} \sim K^{-1}$ ,  $K = 1, 2, 3, \dots$ . Инструментальная точность метода может быть приведена в соответствие с потенциальной точностью и увеличиваться с ростом  $K$  как ряд  $K^{1/2} \div K$ , где  $K$  — размер пространственной апертуры (выборки).

## СПИСОК ЛИТЕРАТУРЫ

1. *Metropolis N., Ulam S.* The Monte Carlo Method // J. Amer. Statist. Assoc. 1949. V. 44.
2. *Монзинго Р.А., Миллер Т.У.* Адаптивные антенные решетки: Введение в теорию: Пер. с англ. М.: Радио и связь, 1986.
3. *Klemm R.* Space-Time Detection Theory // The material in this publication was assembled to support a lecture series under the sponsorship of the sensor and electronics Technology Panel (SET) and the Consultant and Exchange Programmer of RTO presented on 23–24 september 2002 in Moscow, Russia.
4. *Воскресенский Д.И.* Антенны с обработкой сигнала: Уч. пос. для вузов. М.: САЙНС — ПРЕСС, 2002.
5. *Горбунов Ю.Н.* Цифровая обработка радиолокационных сигналов в условиях использования грубого (малоразрядного) квантования: монография / Федеральное космическое агентство, ФГУП «ЦНИРТИ им. акад. А. И. Берга». М., 2007.
6. *Горбунов Ю.Н., Лобанов Б.С., Куликов Г.В.* Введение в стохастическую радиолокацию. Уч. пос. для вузов. М.: Горячая линия — Телеком, 2015.
7. *Горбунов Ю.Н.* Рандомизированная обработка сигналов в радиолокации и связи. ISBN 978-3-659-37797-6, Изд-во «LAP LAMBERT Academic Publishing», 66121, Saarbrücken, Germany, 2015.
8. *Горбунов Ю.Н.* Стохастическая радиолокация: условия решения задач обнаружения, оценивания и фильтрации // Электрон. издание «Журнал радиоэлектроники», ISSN 1684-1719. М.: ИПЭ им. В.А. Котельникова РАН, 2014. № 11. <http://jre.cplire.ru/jre/nov14/3/text.html>; <http://jre.cplire.ru/jre/nov14/3/text.pdf>
9. *Горбунов Ю.Н.* Стохастическая интерполяция пеленга в адаптивных антенных решетках с последовательным диаграммо-образованием на базе усеченных (малозлементных) апертур и робастных статистик сигнала на входе / Изд-во «Радиотехника». журн. «Антенны». 2015. № 6. С. 18–26.
10. *Первозванский А.А.* Поиск. М.: Наука, 1970.
11. *Цыпкин Я. З.* Адаптация и обучение в автоматических системах. М.: Наука, 1968.
12. *Черняк В.С.* О новых и старых идеях в радиолокации: ММО РЛС // Успехи современной радиоэлектроники. 2011. Вып. 2. С. 5–20.
13. *Соболь И.М.* Численные методы Монте-Карло. М.: Наука, 1973.
14. *Горбунов Ю.Н., Бондарев А.В.* Алгоритмы и устройства цифровой стохастической обработки сигналов в радиолокации. Уч. пос. М.: НИЦЭВТ, ИПК МРП, 1990.

15. *Левин Б.Р.* Теоретические основы статистической радиотехники. Кн. 3. М.: Сов. радио, 1976.
16. *Уилкс С.* Математическая статистика. М.: Наука, 1967.
17. *Гнеденко Б.В.* Курс теории вероятностей. М.: Наука, 1965.
18. *Крамер Г.* Математические методы статистики. М.: Мир, 1975.
19. *Вальд А.* Последовательный анализ. М.: Физматгиз, 1960.
20. *Гайсов В.Г., Горбунов Ю.Н.* Двухэтапная процедура измерения временных интервалов методом статистических испытаний с обратной связью // Автометрия. Сиб. отделение АН СССР. 1982. № 2. С. 54–60.
21. *Горбунов Ю.Н.* Многоэтапная процедура измерения параметров повторяющегося сигнала методом стохастического усреднения цифровых отсчетов // Автометрия. Сиб. отделение АН СССР. 1985. № 3. С. 96–99.
22. *Горбунов Ю.Н.* Неслучайные траектории стохастической аппроксимации пеленга в адаптивных антенных решетках с грубыми пространственно-временными статистиками // IX Всерос. Научн.-техн. конф. «Радиолокация и радиосвязь», ИРЭ им. В.А. Котельникова РАН. М.: 23–25 ноября 2015. С. 57–60.
23. *Феллер В.* Введение в теорию вероятностей и ее приложения. Т. II. М: Мир, 1967.

*Статья представлена к публикации членом редколлегии Е.Я. Рубиновичем.*

Поступила в редакцию 08.07.2016

После доработки 17.12.2018

Принята к публикации 18.07.2019